

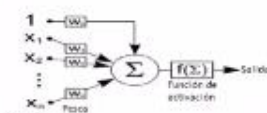
Video conference interface showing a grid of participants. The top-left tile displays a white circle with the letters "PL". The top-right tile shows a man with glasses and a beard wearing a blue checkered shirt. The bottom-left tile displays a white circle with the letters "KG". The bottom-right tile displays a white circle with the letters "RR". A participant list at the bottom shows icons for YG, AE, KG, AH, NJ, PR, CM, SZ, LR, and DM.

Video conference interface showing a grid of participants. The top-left tile shows a man with glasses and a beard in a black shirt, with his hand near his chin. The top-right tile displays a white circle with the letters "RR". The bottom-left tile displays a white circle with the letters "KG". The bottom-right tile shows a woman with glasses and a dark top, with a green plant in the foreground. A participant list at the bottom shows icons for MG, YG, AE, KG, AH, NJ, PR, CM, SZ, LR, and PL.

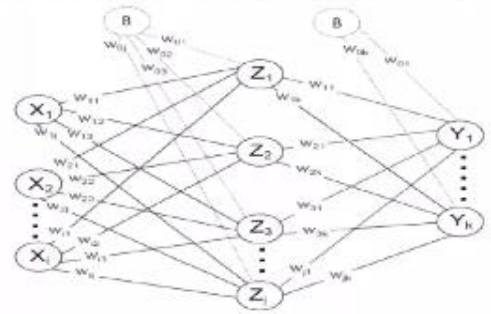
- La Inteligencia Artificial (IA) es la capacidad de las máquinas para utilizar algoritmos, aprender de datos y utilizar lo aprendido en la toma de decisiones tal y como lo haría un ser humano bajo un complejo proceso de razonamiento (Rouhiainen, 2018).
- Moody y Katz (2004), enlistan los enfoques de IA más relevantes asociados a la ciencia de información geográfica en el contexto de la geomorfología, estos son: sistemas expertos (expert systems), autómatas celulares (celular autómatas), conjuntos difusos (fuzzy sets), algoritmos genéticos (genetic algorithms) y redes neuronales artificiales (artificial neural networks).
- Una Red Neuronal Artificial, abreviada como RNA o ANN (por sus siglas en inglés Artificial Neural Network), consiste en un sistema computarizado que replica las funciones cognitivas humanas a partir de redes de neuronas, se caracteriza por ser un conjunto de unidades elementales con una densa estructura interconectada con parámetros libres que puedan satisfacer mejor los resultados del modelo, el cual, se puede ajustar a partir de patrones de entrenamiento supervisados o no supervisados (Salas, 2004; Voženilek, 2009; Luo et al., 2019).



Comparación entre una neurona natural (tomado de Matias, 2001).

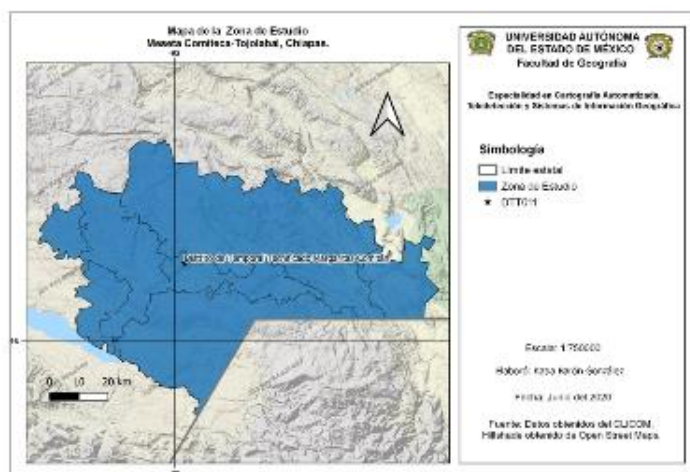


Modelo de una neurona formal (modificado de Nejatpour et al., 2014).

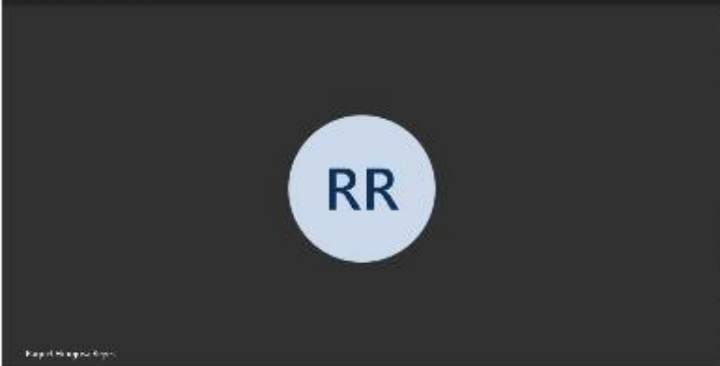
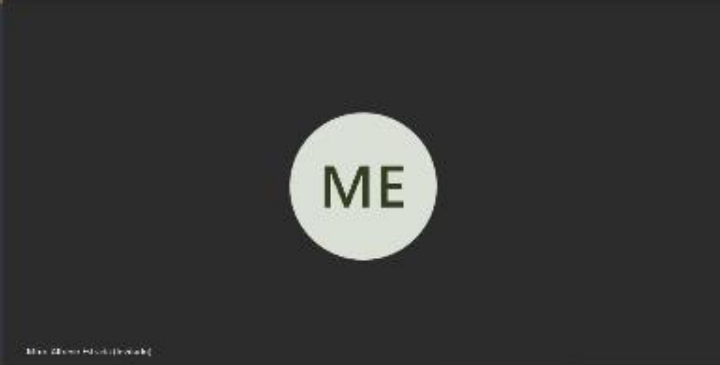
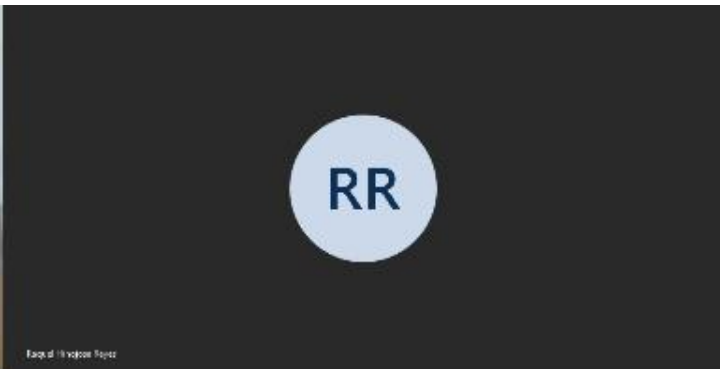


Barra de control de la presentación con botones de navegación y nombres de usuarios: +5, LR, SZ, PL, KG, AH, NU, PR, CM, KG, RR, RR, DM.

Zona de Estudio



Barra de control de la presentación con botones de navegación y nombres de usuarios: +8, LR, SZ, KG, PL, AH, NU, PR, CM, RR, KG, RR, DM.





Face ID: 11 ydooz Rvzr

RR

DM

PL

Busca el video en: +9 0000 SZ KG YG RR AE AH PR CM NJ KG LR ME



Busca el video en: +11 KG RR ME MG NJ PL PR DM B LR RR MN

Presentación Final ECATSIO - Modificado

92% | Visualización | Zoom | Agregar dispositivo | Reproducir | Keynote Live | Tecla | Gráfica | Texto | Figura | Multimedia | Comentarios | Colaborar | Formato | Animación | Documento

RESULTADOS Y CONCLUSIONES

Número de Respuestas por Facultad, CU UAEMéx, Año 2020.

Universidad Autónoma del Estado de México
Facultad de Geografía
Especialidad en Cartografía, Atmósfera, Teledelección y Sistemas de Información Geográfica
Simbología

- Centros CU
- ▭ Edificios CU
- ▭ Límite CU

Número de Respuestas

- 1 - 5
- 6 - 12
- 13 - 24
- 24 - 37

Fuente:
Datos estadísticos generados mediante software
Datos geográficos, digitalizados con CorelDraw
Mapa base de Open Street Map
Sistema de Referencia: WGS84 Zona 14N
Proycción de Coordenadas: UTM/UTM
Elaborado por: Alfonso Pineda Pérez

+10 | KG | RR | ME | MG | NJ | PL | DM | LR | MN | PR | RR



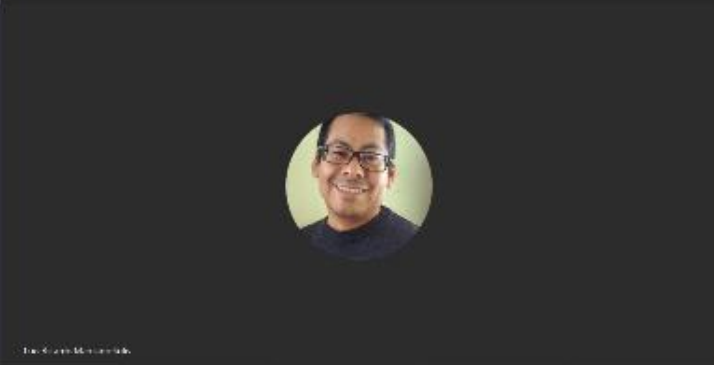
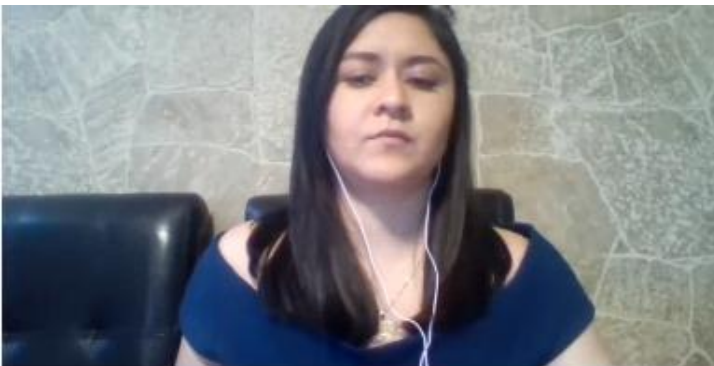
Juan Campos Alvar



Sandra J. Hernández López



1:06:26 / 1:17:51 | LR | NJ | PL | FR | B | PR | AP



METODOLOGÍA

DIAGRAMA METODOLÓGICO DE LA ARQUITECTURA GEOTECNOLÓGICA

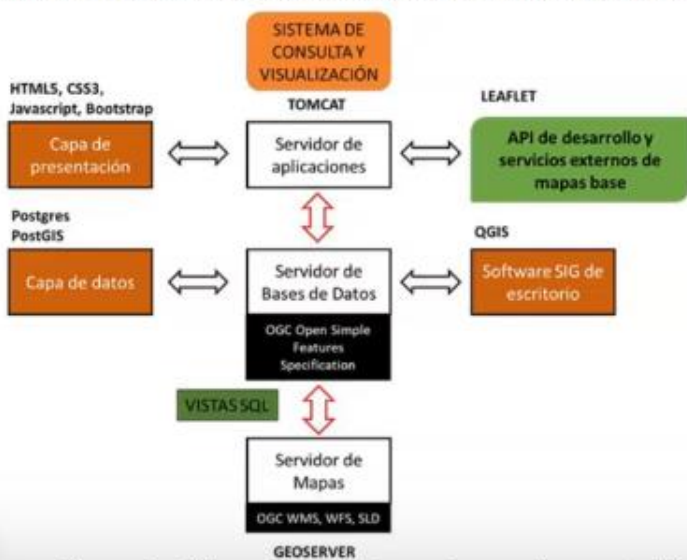
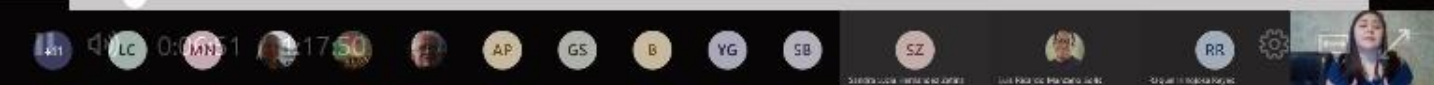
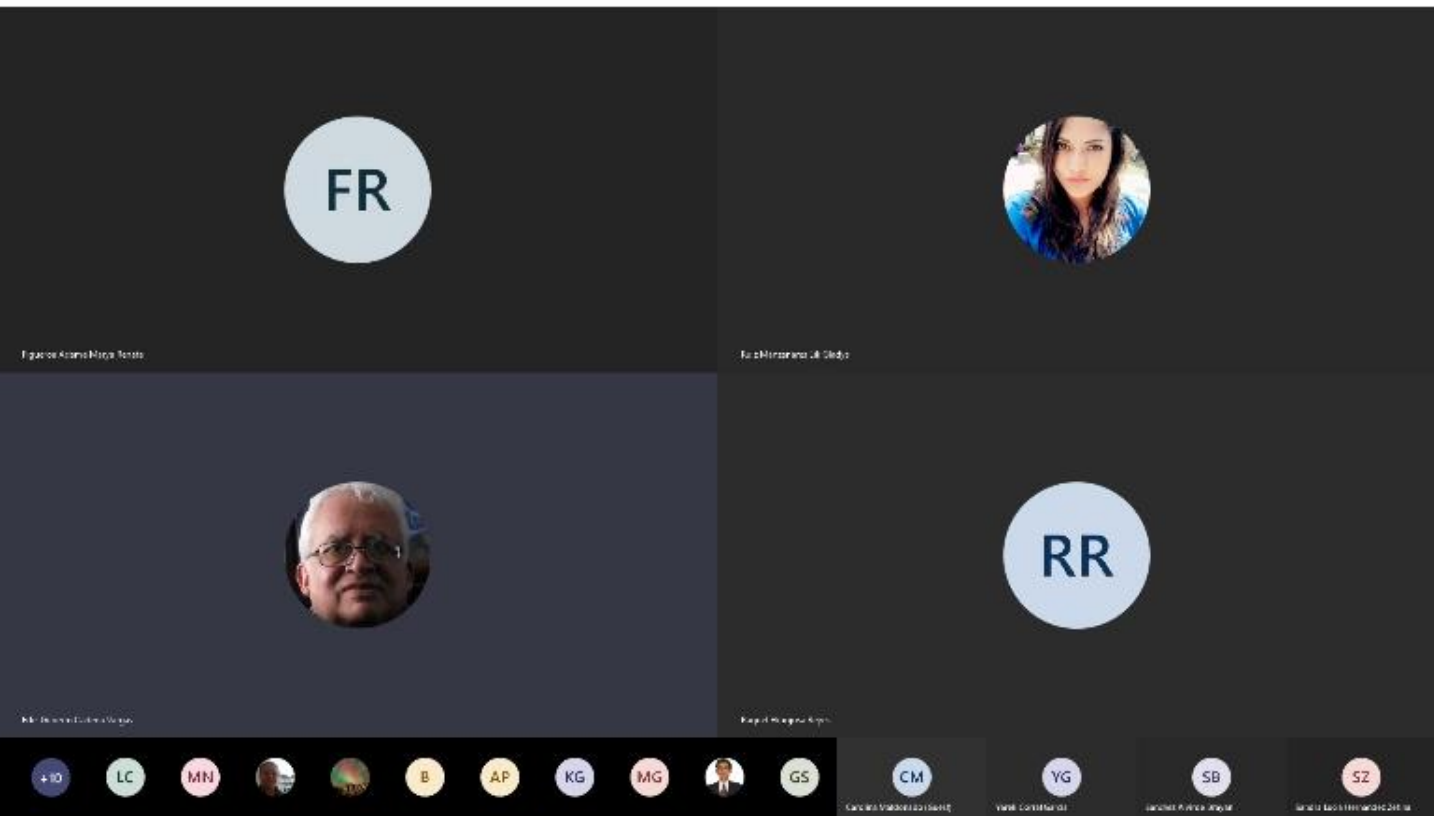


Figura 2. Elaboración propia con base a documentación proporcionada por Alfonso Ramos Corona (2019)







RR

Rafael Hidalgo Reyes



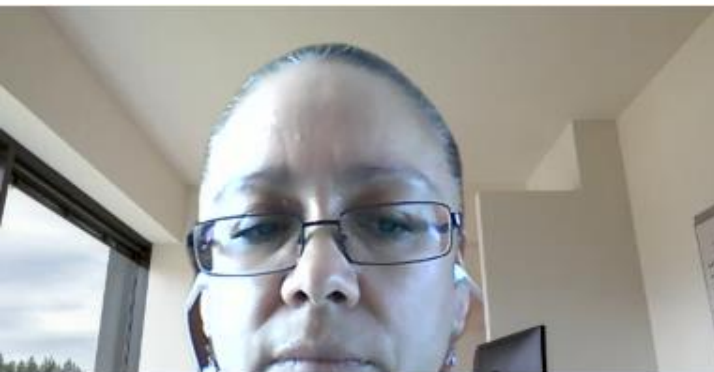
CM

[Unmute Mónica de la Torre]



Participant icons: +11, LC, MN, [Profile], [Profile], B, AP, SB, MG, YG, GS, [Profile], [Profile], FR, SZ

Participant names: Edmundo Castro Ortega, Alicia María López, Ignacio Acosta Pérez, María Encarnación de la Torre



RR

Rafael Hidalgo Reyes

B

SB

[Unmute Bárbara]

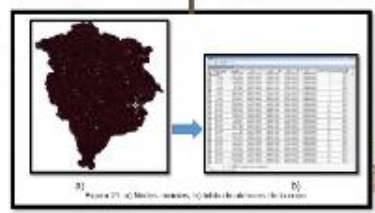
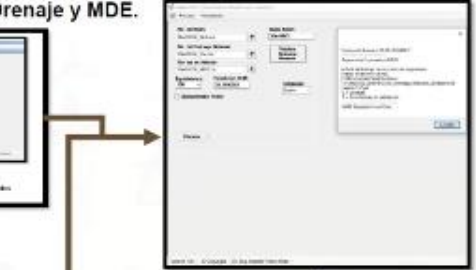
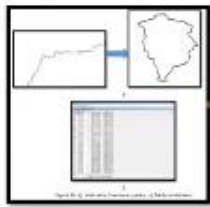
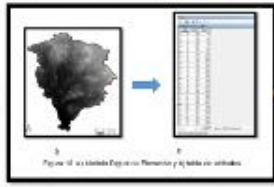
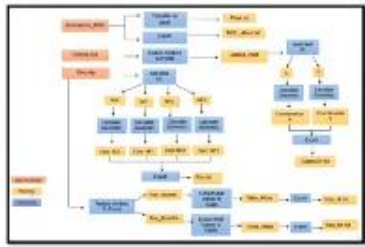
[Unmute Bárbara]

Participant icons: +8, MN, CM, SM, GS, [Profile], MG, FR, NU, SZ, [Profile], [Profile], AP, YG

Participant names: Edmundo Castro Ortega, Alicia María López, Ignacio Acosta Pérez, María Encarnación de la Torre

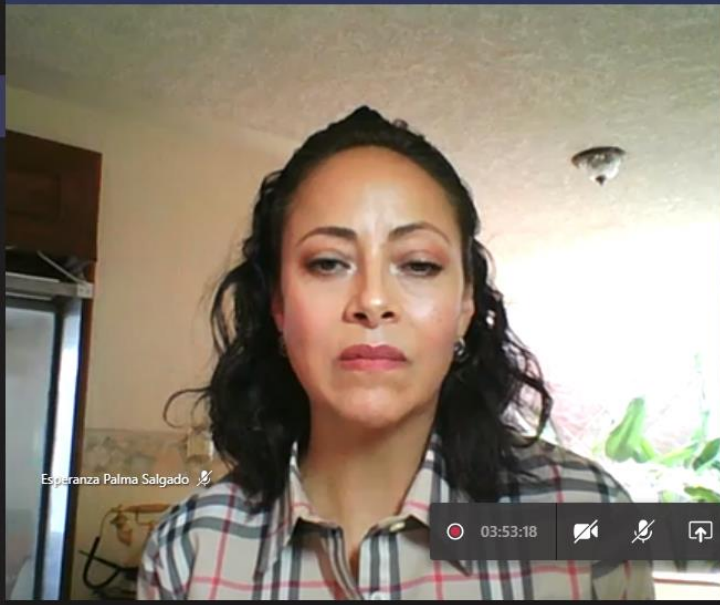
Metodología

Obtención en tablas, la topología de la Cuenca, Red de Drenaje y MDE.



You're recording You are recording this meeting. Be sure to let everyone know that they are being recorded. [Privacy policy](#)

Dismiss



Esperanza Palma Salgado

Renata Flores

03:53:18 [mute] [video off] [share] [more] [hand] [chat] [people] [end call]